

01;03

## Нелинейный анализ равновесной формы заряженной капли в стенке воронки смерча

© С.О. Ширяева, А.И. Григорьев, П.В. Мокшеев

Ярославский государственный университет им. П.Г. Демидова,  
150000 Ярославль, Россия  
e-mail: grig@uniyar.ac.ru

(Поступило в Редакцию 4 июня 2007 г.)

Из условия баланса давлений на свободной поверхности заряженной капли электропроводной жидкости найдено аналитическое выражение для равновесной формы капли в поле центробежных сил, действующих в стенке смерча, в квадратичном по малому параметру (отношению амплитуды деформации к радиусу исходной сферической формы капли) приближении. Определено, что в линейном приближении по амплитуде деформации форма капли совпадает со сфероидом, сплюснутым в направлении, перпендикулярном оси смерча. Квадрат эксцентриситета такого сфероида пропорционален квадрату угловой скорости и третьей степени радиуса капли. В квадратичном приближении появляются отличия равновесной формы капли от сфероидальной.

PACS: 47.55.dd

### Введение

Исследование равновесных форм заряженных капель во внешних силовых полях различной природы (электрических, гравитационных, акустических, инерционных, аэродинамических и т.п.) представляет интерес в связи с изучением процессов в грозовых облаках, воронках смерчей и в других заряженных жидко-капельных системах естественного и искусственного происхождения [1–10], а также в связи с разработкой методов бесконтактного определения физико-химических характеристик жидкостей [11]. Знание равновесных форм капель в различных силовых полях необходимо также для понимания физических закономерностей временной эволюции неустойчивых капель, механизмов реализации их неустойчивости и закономерностей распада при силовых воздействиях, а также для проведения аналитических асимптотических и численных расчетов нелинейных осцилляций подобных капель [12–16].

В настоящей работе в аналитической асимптотической процедуре по методике, ранее использованной в [8–10], рассчитана равновесная форма заряженной капли в поле центробежных сил, действующих в стенке смерча. Такая задача представляет интерес в связи с изучением электрических явлений, связанных со смерчами, феноменом еще менее изученным, чем сами смерчи, хотя данных наблюдений в естественных условиях накоплено достаточно много [12,17,18].

### Постановка задачи

Пусть имеется сферическая капля радиуса  $R$  идеальной электропроводной несжимаемой жидкости с массовой плотностью  $\rho$  и коэффициентом поверхностного натяжения свободной поверхности  $\sigma$ , несущая заряд  $Q$ ,

вращающаяся с постоянной угловой скоростью  $\Omega$  вокруг оси смерча, как это схематически изображено на рис. 1.

Будем полагать, что центр масс капли неподвижен относительно стенки смерча. Расстояние от оси смерча до центра масс капли обозначим  $L$ , а до произвольной точки на поверхности капли как  $L - z = L - R \cos \theta$ , где ось  $z$  берет начало в центре масс капли и идет вдоль перпендикуляра, опущенного из центра масс на ось смерча (см. рис. 1). Расчеты будем проводить в неинерциальной системе отсчета, связанной с центром масс капли, в сферической системе координат, полярный угол которой отсчитывается от положительного направления оси  $z$ .

Зададимся целью вывести аналитическое выражение для равновесной поверхности капли в описанной системе с точностью до слагаемых второго порядка малости по отношению амплитуды деформации капли в поле

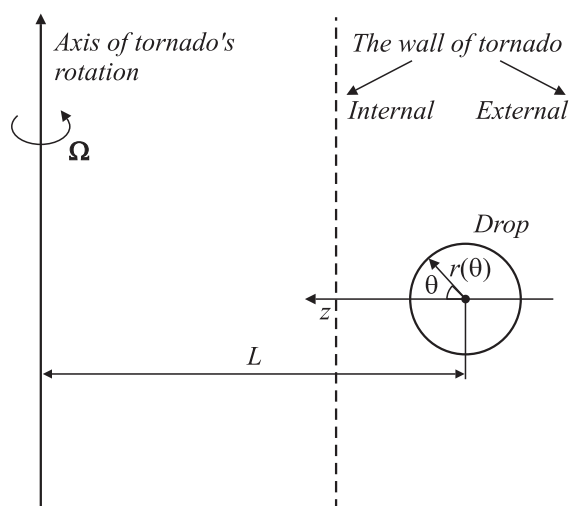


Рис. 1. Схематическое изображение капли в стенке воронки смерча.

центробежных сил и поле сил давления среды в стенке смерча к радиусу равновеликой сферы.

Из общефизических соображений очевидно, что равновесная поверхность капли будет обладать симметрией относительно оси  $x$ , поэтому будем искать форму капли в сферической системе координат в виде разложения по полиномам Лежандра:

$$r(\theta) = R + \xi^{(1)}(\theta) + \xi^{(2)}(\theta) \\ \equiv R + \sum_{n=0}^{\infty} A_n^{(1)} P_n(\mu) + \sum_{n=0}^{\infty} A_n^{(2)} P_n(\mu); \quad (1)$$

$$\left| \frac{\xi^{(1)}(\theta)}{R} \right| \ll 1; \quad \left| \frac{\xi^{(2)}(\theta)}{\xi^{(1)}(\theta)} \right| \ll 1; \quad \mu \equiv \cos(\theta),$$

где функции  $\xi^{(1)}(\theta)$  и  $\xi^{(2)}(\theta)$  описывают малые отклонения формы капли от сферической (первого и второго порядков малости соответственно). Малый параметр, характеризующий равновесную деформацию капли, определим следующим образом:

$$\varepsilon = \frac{|\xi^{(1)}(\theta)|}{R}; \quad \varepsilon^2 = \frac{|\xi^{(1)}(\theta) \xi^{(2)}(\theta)|}{R^2} \sim \frac{|\xi^{(2)}(\theta)|}{R}.$$

Необходимо также потребовать, чтобы выписанная равновесная форма удовлетворяла условиям неизменности объема и неподвижности центра масс капли при деформировании ее поверхности

$$\iiint_V dV = 2\pi \int_{-1}^1 \int_0^{r(\theta)} r^2 dr d\mu = \frac{4}{3} \pi;$$

$$\iiint_V \mathbf{r} dV = \int_0^{2\pi} \int_{-1}^1 \int_0^{r(\theta)} \mathbf{e}_r r^3 dr d\mu d\varphi = 0.$$

Выписанные условия позволяют найти ограничения снизу на спектр мод, принимающих участие в формировании равновесной формы свободной поверхности капли. В условии неподвижности центра масс капли распишем орт радиальной переменной в виде разложения по ортам прямолинейной декартовой системы координат

$$\mathbf{e}_r = \cos \theta \mathbf{e}_z + \sin \theta \cos \varphi \mathbf{e}_x + \sin \theta \sin \varphi \mathbf{e}_y,$$

и, взяв проекции на орты  $\mathbf{e}_x$ ,  $\mathbf{e}_y$ ,  $\mathbf{e}_z$ , получим три интегральных соотношения, из которых первые два (содержащие  $\sin \varphi$  и  $\cos \varphi$ ) будут равны нулю тождественно в силу правил интегрирования по азимутальному углу  $\varphi$ , а третьи примет вид

$$\int_{-1}^1 \int_0^{r(\theta)} \mu r^3 dr d\mu = 0.$$

Подставим в условия неизменности объема и неподвижности центра масс капли разложение (1) для  $r(\theta)$

и, ограничиваясь учетом слагаемых первого порядка малости (т.е. сохраняя значения  $\sim (|\xi^{(1)}(\theta)|/R)$  и отбрасывая величины большего порядка малости), придем к следующим равенствам:

$$\sum_{n=0}^{\infty} A_n^{(1)} \int_{-1}^1 P_n(\mu) d\mu = 0; \quad \sum_{n=0}^{\infty} A_n^{(1)} \int_{-1}^1 P_n(\mu) \mu d\mu = 0.$$

Из первого выписанного соотношения в силу ортогональности полиномов Лежандра следует, что амплитуды  $A_0^{(1)} = 0$ ; из второго — что  $A_1^{(1)} = 0$ . В итоге в выражении (1) для поправки первого порядка малости к сферической поверхности суммирование начинается с индекса  $n = 2$ :

$$\xi^{(1)}(\theta) = \sum_{n=2}^{\infty} A_n^{(1)} P_n(\mu). \quad (2)$$

Аналогичные расчеты, выполненные во втором порядке малости, позволяют определить амплитуды нулевой и первой мод второго порядка малости

$$A_0^{(2)} = - \sum_{n=2}^{\infty} \frac{1}{2n+1} (A_n^{(1)})^2;$$

$$A_1^{(2)} = - \sum_{n=2}^{\infty} \frac{9(n+1)}{(2n+1)(2n+3)} A_n^{(1)} A_{n+1}^{(1)}.$$

## Описание математической процедуры

В отсутствие вращения капли вокруг оси смерча ее равновесная форма принимается сферической. Возможным влиянием на форму капли поля сил тяжести и внешнего электрического поля пренебрегаем. Наличие вращения с угловой скоростью  $\Omega$  вокруг смерча приводит к возникновению центробежных сил, действующих на каплю, появлению дополнительного давления на поверхность капли, обусловленного этими силами  $p_\Omega$ , а также перепада давлений среды, действующего на переднюю и заднюю части капли  $p_\gamma$ , и как следствие, к деформации ее сферической формы. В безразмерных переменных, в которых  $R = \rho = \sigma = 1$ , безразмерная амплитуда деформации капли, обусловленной давлением центробежных сил, будет иметь такой же порядок малости, что и вызвавшее его безразмерное давление  $p_\Omega$  (см. [10], где этот вопрос детально разобран для капли, вращающейся вокруг оси симметрии, проходящей через центр масс капли).

В состоянии равновесия на поверхности капли должно выполняться условие баланса давлений

$$p - p_\gamma + p_\Omega + p_Q = p_\sigma. \quad (3)$$

Здесь  $p$  — давление жидкости внутри капли;  $p_\gamma$  — давление среды в стенке смерча;  $p_\Omega$ ,  $p_Q$  и  $p_\sigma$  — давления на

поверхность капли центробежных, электростатических и капиллярных сил соответственно.

Условие (3) позволяет определить амплитуды  $A_n^{(1)}$  и  $A_n^{(2)}$  в разложении (1) в результате следующей процедуры. Представим входящие в (3) давления в виде формальных разложений по степеням малого параметра  $\varepsilon$ , сохранив слагаемые до второго порядка малости включительно

$$\begin{aligned} p &\approx p^{(0)} + p^{(1)} + p^{(2)} + O(\varepsilon^3); \\ p_\Omega &\approx p_\Omega^{(0)} + p_\Omega^{(1)} + p_\Omega^{(2)} + O(\varepsilon^3); \\ p_Q &\approx p_Q^{(0)} + p_Q^{(1)} + p_Q^{(2)} + O(\varepsilon^3); \\ p_\sigma &\approx p_\sigma^{(0)} + p_\sigma^{(1)} + p_\sigma^{(2)} + O(\varepsilon^3); \\ p_\gamma &\approx p_\gamma^{(0)} + p_\gamma^{(1)} + p_\gamma^{(2)} + O(\varepsilon^3). \end{aligned} \quad (4)$$

В выражениях (4) верхний индекс указывает порядок малости соответствующей величины. Подставив разложения (4) в уравнение (3) и собрав вместе слагаемые одного порядка малости, потребуем выполнения баланса давлений для каждого из порядков в отдельности. Нулевой порядок малости определит баланс давлений на поверхности заряженной сферической капли в отсутствие вращения. Баланс давлений первого и второго порядка малости позволит рассчитать амплитуды  $A_n^{(1)}$  и  $A_n^{(2)}$  в выражении (1).

### Разложение по малому параметру давлений, действующих на поверхность заряженной капли в стенке смерча

Получим отдельно для каждого из входящих в (3) давлений выражения в виде суперпозиции компонент различных порядков малости.

Характерной особенностью анализируемой проблемы является присутствие в ее формулировке разных масштабов. Так, вращение системы приводит к формированию смерча как целого и появлению градиента давления среды в его стенке — это крупномасштабные проявления вращения, связанные с наличием линейного масштаба  $L$ . С другой стороны, вращение смерча приводит к появлению центробежных сил, действующих на каждую каплю в его стенке и обуславливающих деформацию капель, — это мелкомасштабные следствия вращения, связанные с наличием существенно меньшего линейного масштаба  $R$ . При проводимом асимптотическом анализе желательно разделить крупно- и мелкомасштабные явления. Для достижения этой цели выпишем аналитические выражения для давлений центробежных сил и сил давления среды и рассмотрим результат совместного действия на каплю с учетом требования ее неподвижности относительно стенки смерча. Слагаемые, возникшие вследствие крупномасштабного проявления вращения, должны компенсировать друг друга,

поскольку центробежные силы и силы давления среды действуют на каплю в противоположных направлениях. Мелкомасштабные слагаемые из выписанных давлений будут характеризовать деформацию капли.

Давление центробежных сил, вызванное вращением капли вокруг оси смерча, определяется известным выражением

$$\begin{aligned} p_\Omega &= \int_{r(\theta)}^{r(\theta) \cos \theta} \rho \Omega^2 (L - x) dx \\ &= \rho \Omega^2 L (R + \xi^{(1)} + \xi^{(2)}) (\cos \theta - 1) \\ &\quad + \frac{1}{2} \rho \Omega^2 (R + \xi^{(1)} + \xi^{(2)})^2 \sin^2 \theta. \end{aligned} \quad (5)$$

Давление среды на поверхность капли найдем исходя из следующих соображений: на границы стенок смерча (внутреннюю и внешнюю) действуют разные давления, причем на внутренней стенке смерча давление существенно меньше, чем на наружной. В итоге в стенке смерча существует градиент давлений, так что разность давлений на внутреннюю и внешнюю (по отношению к оси смерча) стороны капли компенсируют действие центробежных сил инерции, стремящихся выкинуть каплю на периферию. Распределение давления среды в окрестности капли  $p_\gamma(z)$  будем искать, обозначив давление в стенке смерча на расстоянии  $L$  от его оси (в плоскости симметрии капли  $z = 0$ ) как  $p_L$  и используя линейную аппроксимацию:

$$\nabla p_\gamma = -\gamma \mathbf{e}_z,$$

где  $\gamma$  — перепад давления на единицу расстояния, а  $\mathbf{e}_z$  — орт нормали оси  $z$  (рис. 1). Проинтегрировав, найдем

$$p_\gamma = -\gamma z + C. \quad (6)$$

Из граничного условия при  $z = 0$  (на расстоянии  $L$  от оси смерча) найдем константу в (6):  $C = p_L$ . В итоге получим

$$\begin{aligned} p_\gamma &= p_L - \gamma z = p_L - \gamma r(\theta) \cos \theta \\ &= p_L - \gamma (R + \xi^{(1)} + \xi^{(2)}) \cos \theta. \end{aligned} \quad (7)$$

Условие равенства центробежной силы и силы, возникающей из-за перепада давлений в среде, действующих на каплю и обеспечивающих неподвижность ее центра масс, позволяет выразить неизвестную константу  $\gamma$  через определяемые параметры задачи  $\rho, \Omega, L$ .

Центробежная сила, действующая на каплю массой  $m \equiv \rho 4\pi R^3/3$ , центр масс которой вращается с угловой скоростью  $\Omega$  по окружности радиуса  $L$ , определится известным выражением

$$F_\Omega = \rho 4\pi R^3 \Omega^2 L/3.$$

Сила, действующая на каплю в противоположном направлении, возникающая из-за перепада давлений на диаметре капли, определится интегралом

$$F_y = \int_0^{2\pi} \int_0^{\pi} p_y \cos \theta \cdot dS$$

$$\equiv \int_0^{2\pi} \int_0^{\pi} (p_L - \gamma R \cos \theta) \cos \theta R^2 \sin \theta d\theta d\varphi = \frac{4\pi}{3} \gamma R^3.$$

Приравняв  $F_{\Omega}$  и  $F_y$ , найдем

$$\gamma = \rho \Omega^2 L.$$

Подставив это соотношение в (7), получим

$$p_y = p_L - \rho \Omega^2 L (R + \xi^{(1)} + \xi^{(2)}) \cos \theta. \quad (8)$$

Баланс давления центробежных сил и сил давления окружающей среды определим следующим образом. Вычтя из (5) выражение (8), избавимся от влияния крупномасштабных эффектов и сможем сосредоточиться на основном предмете проводимого исследования искажения формы капли

$$p_{\Omega} - p_y = -\rho \Omega^2 L (R + \xi^{(1)} + \xi^{(2)}) (\cos \theta - 1)$$

$$+ \frac{1}{2} \rho \Omega^2 (R + \xi^{(1)} + \xi^{(2)})^2 \sin^2 \theta$$

$$- [p_L - \rho \Omega^2 L (R + \xi^{(1)} + \xi^{(2)}) \cos \theta]$$

$$= \rho \Omega^2 L (R + \xi^{(1)} + \xi^{(2)}) - p_L$$

$$+ \frac{1}{2} \rho \Omega^2 (R + \xi^{(1)} + \xi^{(2)})^2 \sin^2 \theta$$

$$\approx \left[ \rho \Omega^2 L R \left( 1 + \frac{\xi^{(1)}}{R} + \frac{\xi^{(2)}}{R} \right) - p_L \right]$$

$$+ \rho \Omega^2 R^2 \left( \frac{1}{2} + \frac{\xi^{(1)}}{R} + \frac{\xi^{(2)}}{R} \right) \sin^2 \theta = 0. \quad (9)$$

В этом выражении первые слагаемые, заключенные в квадратные скобки, содержат величины, характеризующие крупномасштабные эффекты. Величина наименьшего из них,  $\rho \Omega^2 L \xi^{(2)}$ , не менее чем на два порядка превышает величину наибольшего из слагаемых, стоящих в круглых скобках  $\rho \Omega^2 R^2$ . Следовательно, приравняв нулю выражение, стоящее в квадратных скобках, можно определить по порядку величины давление  $p_L$  в стенке смерча на расстоянии  $L$  от его оси, при котором капля радиуса  $R$  будет находиться в равновесии по отношению к смещению вдоль оси  $z$ :

$$p_L \approx \rho \Omega^2 L R.$$

Из полученного выражения видно, что крупные капли должны концентрироваться под действием центробежных сил на периферии смерча, на внешней стороне его

стенки, там, где противодействие среды максимально, а мелкие капельки будут располагаться в окрестности внутренней стенки смерча. Учтем, что, согласно существующим представлениям [19], в грозовых облаках средние размеры разноименно заряженных капель различны: отрицательно заряженные капли в среднем крупнее положительно заряженных. Массивные отрицательно заряженные капли будут выноситься на периферию смерча, к внешней границе его стенки, тогда как более мелкие положительно заряженные останутся в окрестности внутренней границы стенки смерча. Как уже упоминалось, в результате действия центробежных сил давление в окрестности оси вращения (во внутренней полости смерча) понизится, а в стенке смерча появится градиент давления, перпендикулярный оси вращения, действие которого стабилизирует при некоторых значениях величин процесс центробежной седиментации капель разных размеров. В стенке смерча установится квазиравновесное макроскопическое разделение электрических зарядов с осевой симметрией. Области концентрации положительно и отрицательно заряженных капель будут цилиндрическими с характерными расстояниями до оси вращения  $L_1$  и  $L_2$  (рис. 2). Появившееся в итоге электрическое поле, подобное полю цилиндрического конденсатора, будет создаваться областью концентрации мелких положительно заряженных капель, а его напряженность может достигать предпробойных величин  $\sim 10^4$  В/см, поскольку очевидцы часто сообщают об электрических разрядах в стенках смерчей [17,18]. Кроме разрядов молний со смерчами связаны и более редкие и непонятные световые эффекты, которые также ассоциируются с электрическими явлениями в атмосфере: светящиеся пятна и кольца, вращающиеся вместе с воронкой; пульсирующие сияния, освещающие ее; сплошные свечения воронки в течение десятков минут. Имеются фотографии светящихся воронок смерчей [17,20].

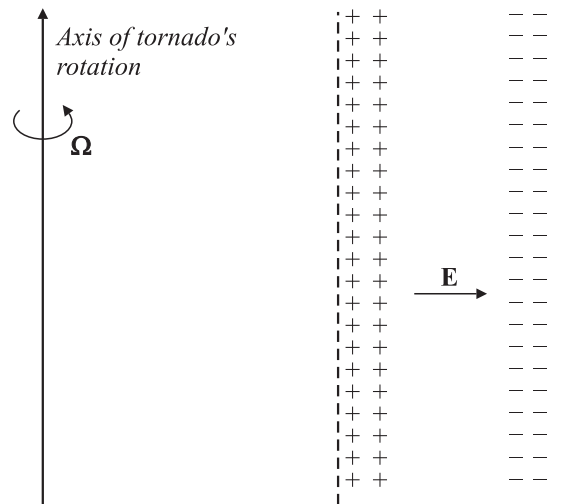


Рис. 2. Схематическое изображение расположения электрических зарядов в стенке воронки смерча.

В (9) слагаемым первого порядка малости, определяющим деформацию капли в поле центробежных сил следует считать  $\rho\Omega^2 R^2 \sin^2 \theta/2$ ; тогда слагаемым второго порядка малости будет  $\rho\Omega^2 R \xi^{(1)} \cos^2 \theta$ . Последнее слагаемое в (9) будет иметь третий порядок малости, которое в проводимом с точностью до малых второго порядка рассмотрении следует опустить, в итоге получим

$$(p_\Omega - p_\gamma)^{(1)} = -\frac{1}{2} \rho\Omega^2 R^2 \sin^2 \theta \\ \equiv \frac{1}{3} \rho\Omega^2 R^2 [P_2(\mu) - P_0(\mu)];$$

$$(p_\Omega - p_\gamma)^{(2)} = \rho\Omega^2 R \xi^{(1)} \cos^2 \theta \\ \equiv -\frac{4}{3} \rho\Omega^2 R \left[ \frac{A_2^{(1)}}{5} P_0(\mu) + \frac{9}{35} A_3^{(1)} P_1(\mu) \right. \\ \left. + \sum_{n=2}^{\infty} \left( A_{n+2}^{(1)} K_{2(n+2)n} + \left( K_{2nm} - \frac{7}{3} \right) A_n^{(1)} \right. \right. \\ \left. \left. + A_{n-2}^{(1)} K_{2(n-2)n} \right) P_n(\mu) \right];$$

$$K_{jnk} \equiv (C_{j0n0}^{k0})^2, \quad (10)$$

где  $C_{j0n0}^{k0}$  — коэффициенты Клебша–Гордона [17]. При выводе этого соотношения использованы рекуррентные формулы для разложения произведения полиномов Лежандра, приведенные в Приложении А.

Давление сил поверхностного натяжения определяется через орт нормали  $\mathbf{n}$  к свободной поверхности капли

$$r = r(\theta) : \quad p_\sigma = \sigma \operatorname{div} \mathbf{n}; \\ \mathbf{n} = \nabla(r - r(\theta)) / |\nabla(r - r(\theta))|.$$

Выражение для орта нормали к поверхности капли, заданной соотношением (1), имеет вид

$$\mathbf{n} = \mathbf{e}_r \left[ 1 - \frac{1}{2R^2} \left( \frac{\partial \xi^{(1)}}{\partial \theta} \right)^2 \right] \\ - \frac{\mathbf{e}_\theta}{R} \left[ \frac{\partial \xi^{(1)}}{\partial \theta} + \frac{\partial \xi^{(2)}}{\partial \theta} - \frac{\xi^{(1)}}{R} \frac{\partial \xi^{(1)}}{\partial \theta} \right].$$

Тогда для давления сил поверхностного натяжения во втором порядке малости получим выражение [10]:

$$p_\sigma = \frac{2\sigma}{R} - \frac{\sigma}{R^2} [2 + \Delta_\theta] \xi^{(1)} \\ - \frac{\sigma}{R^2} [2 + \Delta_\theta] \xi^{(2)} + 2 \frac{\sigma}{R^3} \xi^{(1)} [1 + \Delta_\theta] \xi^{(1)}.$$

Подставив в это выражение разложения по полиномам Лежандра для  $\xi^{(1)}(\theta)$  и  $\xi^{(2)}(\theta)$ , окончательно получим

$$p_\sigma = \frac{2\sigma}{R} + \frac{\sigma}{R^2} \sum_{n=2}^{\infty} (n-1)(n+2) A_n^{(1)} P_n(\mu) \\ + \frac{\sigma}{R^2} \sum_{n=2}^{\infty} (n-1)(n+2) A_n^{(2)} P_n(\mu) \\ - \frac{2\sigma}{R^3} \sum_{n=0}^{\infty} \left[ \sum_{l=2}^{\infty} \sum_{k=2}^{\infty} (k^2 + k - 1) K_{lkn} A_l^{(1)} A_k^{(1)} \right] P_n(\mu)$$

или

$$p_\sigma^{(0)} = \frac{2\sigma}{R}; \quad p_\sigma^{(1)} = \frac{\sigma}{R^2} \sum_{n=2}^{\infty} (n-1)(n+2) A_n^{(1)} P_n(\mu); \\ p_\sigma^{(2)} = \frac{\sigma}{R^2} \sum_{n=2}^{\infty} (n-1)(n+2) A_n^{(2)} P_n(\mu) \\ - \frac{2\sigma}{R^3} \sum_{n=0}^{\infty} \left[ \sum_{l=2}^{\infty} \sum_{k=2}^{\infty} (k^2 + k - 1) K_{lkn} A_l^{(1)} A_k^{(1)} \right] P_n(\mu). \quad (11)$$

Давление электрического поля собственного заряда на равновесную поверхность капли, описываемую соотношением (1), согласно Приложению В, может быть разложено на порядки малости следующим образом:

$$p_Q^{(0)} = \frac{Q^2}{8\pi R^4}; \quad p_Q^{(1)} = \frac{Q^2}{4\pi R^5} \sum_{n=2}^{\infty} A_n^{(1)} (n-1) P_n(\mu); \\ p_Q^{(2)} = \frac{Q^2}{4\pi R^5} \sum_{n=2}^{\infty} A_n^{(2)} (n-1) P_n(\mu) \\ + \frac{Q^2}{8\pi R^6} \sum_{n=0}^{\infty} \sum_{k,l=2}^{\infty} A_k^{(1)} A_l^{(1)} (10 + (l+1)(k+1) \\ - 2(l+4)(l+1) + 2l(n+1)) K_{kln} P_n(\mu) \\ + \frac{Q^2}{8\pi R^6} \sum_{n=0}^{\infty} \sum_{k,l=2}^{\infty} A_k^{(1)} A_l^{(1)} \alpha_{kln} P_n(\mu). \quad (12)$$

### Расчет равновесной формы капли из условия баланса давлений

Коэффициенты  $A_n^{(j)}$  в выражении для формы равновесной поверхности (1) вычислим, подставив полученные выражения для компонент давлений (10)–(12) с учетом (4) в условие баланса давлений (3), приравняв слагаемые одинакового порядка малости и используя ортогональность полиномов Лежандра.

В нулевом порядке получим равенство, описывающее баланс давлений на поверхности заряженной сферической капли в отсутствие вращения и позволяющее

определить равновесное давление внутри капли

$$p^{(0)} = \frac{2\sigma}{R} - \frac{Q^2}{8\pi R^4}.$$

Баланс давлений на поверхности капли, выписанный в первом порядке малости, имеет вид

$$p_\sigma^{(1)} = p^{(1)} + p_Q^{(1)} + (p_\Omega - p_\gamma)^{(1)}.$$

После подстановки в него выражений (10)–(12) получим

$$\begin{aligned} \frac{\sigma}{R^2} \sum_{n=2}^{\infty} (n-1)(n+2) A_n^{(1)} P_n(\mu) &= p^{(1)} P_0(\mu) \\ + \frac{Q^2}{4\pi R^5} \sum_{n=2}^{\infty} A_n^{(1)} (n-1) P_n(\mu) &+ \frac{1}{3} \rho \Omega^2 R^2 [P_2(\mu) - P_0(\mu)]. \end{aligned}$$

Собрав слагаемые при полиномам Лежандра одинакового порядка и приравняв каждую из таких сумм нулю, в силу ортогональности функций  $P_n(\mu)$  получим при  $n = 0$  поправку к давлению внутри капли, возникающую вследствие действия центробежных сил

$$p^{(1)} = \rho \Omega^2 R^2 / 3,$$

а при  $n \geq 2$  — коэффициенты  $A_n^{(1)}$  в разложении (4):

$$\begin{aligned} \frac{A_2^{(1)}}{R} &= \frac{E}{3(1-W)}; \quad F \equiv \frac{\rho \Omega^2 R^3}{4\sigma}; \\ W &\equiv \frac{Q^2}{16\pi\sigma R^3}; \quad A_n^{(1)} = 0, \quad (n > 2); \end{aligned}$$

где  $W$  — параметр Рэлея, равный отношению давления электрического поля собственного заряда капли к лапласовскому давлению под сферической поверхностью и характеризующий устойчивость поверхности капли по отношению к собственному заряду (критическое для развития неустойчивости значение параметра  $W$  равно единице);  $F$  — отношение давления центробежных сил к лапласовскому давлению.

Согласно полученным соотношениям, первый порядок малости имеет лишь коэффициент при полиноме Лежандра  $P_2(\mu)$ , в то время как коэффициенты при всех остальных полиномах равны 0. В результате равновесия форма поверхности капли в первом порядке малости запишется в виде

$$r(\theta) \approx R \left( 1 - \frac{F}{3(1-W)} P_2(\mu) \right). \quad (13)$$

Из сравнения выражения (13) с разложением в ряд по эксцентриситету  $e$  уравнения сфероидальной поверхности, выписанного в сферических координатах

$$\begin{aligned} r_{\text{sph}} &= R \left\{ \left( 1 - \frac{1}{45} e^4 \right) P_0(\mu) - \left( \frac{1}{3} e^2 + \frac{11}{63} e^4 \right) P_2(\mu) \right. \\ &\quad \left. + \frac{3}{35} P_4(\mu) e^4 + O(e^6) \right\}, \quad (14) \end{aligned}$$

следует, что равновесную форму поверхности заряженной капли, вращающейся вокруг оси смержа с постоянной угловой скоростью  $\Omega$ , можно считать вытянутым сфероидом с точностью до пренебрежения слагаемыми  $\sim e^4$ . Эксцентриситет такого сфероида связан с зарядом капли и со скоростью вращения смержа соотношением

$$e^2 = \frac{F}{1-W}. \quad (15)$$

Поскольку квадрат эксцентриситета пропорционален отношению давления центробежных сил, имеющему первый порядок малости, к давлению капиллярных сил под сферической поверхностью, имеющему нулевой порядок малости, то он, согласно сказанному выше, имеет первый порядок малости и пропорционален величине деформации капли, т.е.

$$e^2 \sim A_2^{(1)}/R \sim \xi^{(1)}/R \sim (p_\Omega - p_\gamma)^{(1)}/p_\sigma^{(1)}.$$

Из соотношения (15) видно, что как увеличение скорости вращения, так и увеличение заряда приводит к росту эксцентриситета, т.е. к увеличению сфероидальной деформации равновесной поверхности капли. Область применимости полученного выражения определяется условием

$$e^2 \equiv \frac{F}{1-W} \ll 1. \quad (16)$$

Соотношение (16) накладывает ограничение на величины угловой скорости вращения, заряд и радиус капли, при которых ее форму можно считать близкой к сплюснутому сфероиду. Поскольку в грозовых облаках, порождающих смержи [17,18], радиусы капель изменяются в диапазоне от десятка до сотни микрометров, а угловые скорости вращения смержа можно оценить как  $\Omega^2 \sim 10^3 - 10^4 \text{ s}^{-2}$ , то условие (16) выполняется при любых достижимых в естественных условиях зарядах капель, которые обычно обеспечивают удовлетворение неравенства:  $W \ll 1$  [19]. Более того, в указанном диапазоне размеров и зарядов капель и угловых скоростей вращения смержа значение квадрата эксцентриситета вытянутой сфероидальной капли будет весьма мало ( $e^2 \leq 10^{-4}$ ), и только для весьма крупных капель с  $R \sim 0.1 \text{ cm}$  сфероидальная деформация будет заметной. Условие (16) будет выполняться и в этом случае. Однако возможность появления в стенке смержа крупных капель нуждается в комментарии.

Во внутренней полости смержа давление по сравнению с внешним, атмосферным, понижено примерно на несколько десятков процентов [17,18]. Поэтому вода, попадающая при перемещении смержа из внешней среды внутрь воронки, будет интенсивно испаряться, а водяной пар — конденсироваться на мелких капельках внутренней поверхности стенки воронки. При конденсации, а также вследствие коагуляции капель во внутренней части стенки будет происходить их укрупнение. Соответственно будет увеличиваться и действующая на них

центробежная сила, которая будет выносить капли на периферию смерча.

Во втором порядке малости имеем

$$p_{\sigma}^{(2)} = p^{(2)} + p_Q^{(2)} + (p_{\Omega} - p_{\gamma})^{(2)}.$$

Подставив сюда выражения для поправок второго порядка малости к давлениям и учитывая, что, поскольку  $A_n^{(1)}$  отлично от нуля только при  $n = 2$ , то во втором порядке малости будут отличны от нуля коэффициенты только при  $P_0(\mu)$ ,  $P_2(\mu)$  и  $P_4(\mu)$ ; тогда получим

$$\frac{A_2^{(2)}}{R} = -\frac{25 - 17W}{63(1 + W)} e^4; \quad \frac{A_4^{(2)}}{R} = -\frac{18 - 34W}{35(9 + 2W)} e^4.$$

Окончательный аналитический вид уравнения образующей вращающейся заряженной капли с сохранением слагаемых второго порядка малости будет следующим:

$$r(\theta) = R \left\{ \left( 1 - \frac{1}{45} e^4 \right) P_0(\mu) - \left( \frac{1}{3} e^2 + \frac{25 - 17W}{63(1 + W)} e^4 \right) P_2(\mu) + \frac{2}{35} \frac{9 - 17W}{9 + 2W} e^4 P_4(\mu) \right\}. \quad (17)$$

Сравнив это выражение с разложением в ряд по эксцентриситету  $e$  уравнения сплюснутого сфероида (14), несложно убедиться, что в квадратичном приближении равновесная форма капли несколько отклоняется от сфероидальной.

## Комментарии к полученным результатам

В проведенном выше рассмотрении использовалось условие неподвижности капли в стенке смерча относительно смещений в радиальном направлении (перпендикулярном оси смерча), но не затрагивался вопрос об обеспечении ее неподвижности в направлении, параллельном оси смерча, поскольку в работе предполагалось исследовать возможные деформации капли в поле центробежных сил. В реальности в стенке смерча капля находится в обдуваемом ее потоке газа, она подвержена действию электрического и гравитационного полей, и все эти факторы, с одной стороны, приводят к дополнительной деформации капли, а с другой — подбор противоположно направленных силовых воздействий на каплю в вертикальном направлении может обеспечить ее неподвижность, которая и использовалась в проведенном анализе. Теоретический анализ условий подвешивания и деформации капли во внешних силовых полях проведен в [8], экспериментально подвес заряженной капли в суперпозиции гравитационного, электрического и аэродинамического полей реализован в [21]. Для полноты освещения возможной деформации капли в стенке смерча в совокупности всех силовых воздействий отметим, что в линейном приближении капля в ламинарно обтекающем ее потоке среды с плотностью  $\rho_*$

и скоростью  $U$  деформируется к сплюснутому вдоль потока сфероиду с эксцентриситетом [22]:

$$e^2 = \frac{9}{16} \frac{We}{(1 - W)}; \quad We \equiv \frac{\rho_* U^2 R}{\sigma},$$

где  $We$  — число Вебера. Здесь уместно отметить, что капли воды с радиусами, меньшими сотни микрометров, свободно падающие в воздухе под действием силы тяжести, характеризуются числами Рейнольдса, меньшими десяти [23], и следовательно, их обтекание потоком воздуха реализуется в ламинарном режиме. В однородном электростатическом поле напряженностью  $E$  капля деформируется к вытянутому сфероиду с эксцентриситетом [3]:

$$e^2 = \frac{9}{16\pi} \frac{w}{(1 - W)}; \quad w = \frac{E^2 R}{\sigma}.$$

Наличие гравитационного поля в линейном приближении на форме капли не сказывается, но уже в приближении  $\sim \varepsilon^{3/2}$  его влияние приводит к появлению асимметрии относительно плоскости, перпендикулярной оси смерча [8].

## Заключение

Под действием центробежных сил заряженная капля в стенке смерча деформируется к фигуре, совпадающей в линейном приближении по амплитуде деформации со сфероидом, сплюснутым в направлении действия центробежных сил. Величина эксцентриситета такой фигуры увеличивается с ростом заряда и размера капли. В диапазоне размеров капель от десятка до сотни  $\mu\text{m}$  значение сфероидальной деформации весьма мало, но с увеличением радиуса капли растет пропорционально его третьей степени. При расчетах в квадратичном приближении по величине деформации имеет место отклонение равновесной формы капли от сфероидальной.

## Приложение А

В соответствии с [24,25] выпишем рекуррентные соотношения для преобразования бесконечных сумм, содержащих произведения двух полиномов Лежандра, и сумм, содержащих произведения двух первых производных от полиномов Лежандра по полярному углу, в ряды по этим же полиномам.

1. Разложение для  $\sum_{n=2}^{\infty} A_n^{(1)} P_2(\mu) P_n(\mu)$ :

$$\sum_{n=2}^{\infty} A_n^{(1)} (P_2(\mu) P_n(\mu)) = \sum_{n=2}^{\infty} A_n^{(1)} \left\{ K_{2n(n-2)} P_{n-2}(\mu) + K_{2nm} P_n(\mu) + K_{2n(n+2)} P_{n+2}(\mu) \right\}, \quad (A.1)$$

где

$$K_{jnk} = (C_{j0n0}^{k0})^2,$$

а  $C_{j0n0}^{k0}$  — коэффициенты Клебша–Гордана [24];  $|j - n| \leq k \leq j + n$ ;  $j + k + n$  — четное.

Перепишем в несколько иной форме первую и третью суммы в (А.1), переходя от  $P_{n\pm 2}(\mu)$  к  $P_n(\mu)$ . В сумме

$$\sum_{n=2}^{\infty} A_n^{(1)} K_{2n(n-2)} P_{n-2}(\mu)$$

сделаем замену  $n - 2 = j$  и просуммируем по  $j$ , в итоге получим

$$\sum_{j=0}^{\infty} A_{j+2}^{(1)} K_{2(j+2)} j P_j(\mu).$$

Сделаем еще одну замену  $j = n$  и начнем суммирование с  $n = 2$ , тогда

$$\begin{aligned} \sum_{n=0}^{\infty} A_{n+2}^{(1)} K_{2(n+2)n} P_n(\mu) &= \frac{1}{5} A_2^{(1)} P_0(\mu) + \frac{9}{35} A_3^{(1)} P_1(\mu) \\ &+ \sum_{n=2}^{\infty} A_{n+2}^{(1)} K_{2(n+2)n} P_n(\mu). \end{aligned}$$

В сумме

$$\sum_{n=2}^{\infty} A_n^{(1)} K_{2n(n+2)} P_{n+2}(\mu)$$

сделаем замену  $n + 2 = j$  и просуммируем по  $j$ , получим

$$\sum_{j=4}^{\infty} A_{j-2}^{(1)} K_{2(j-2)j} P_j(\mu).$$

Сделаем теперь замену  $j = n$  и начнем суммирование с  $n = 2$ , в итоге получим

$$\begin{aligned} \sum_{j=4}^{\infty} A_{n-2}^{(1)} K_{2(n-2)n} P_n(\mu) \\ = \sum_{n=2}^{\infty} (1 - \delta_{n2} - \delta_{n3}) A_{n-2}^{(1)} K_{2(n-2)n} P_n(\mu), \end{aligned}$$

где  $\delta_{nm}$  — символ Кронекера.

В результате вместо (А.1) после перемножения полиномов второй и  $n$ -й степени получим

$$\begin{aligned} \sum_{n=2}^{\infty} A_n^{(1)} (P_2(\mu) P_n(\mu)) &= \frac{1}{5} A_2^{(1)} P_0(\mu) \\ &+ \frac{9}{35} A_3^{(1)} P_1(\mu) + \sum_{n=2}^{\infty} (A_{n+2}^{(1)} K_{2(n+2)n} \\ &+ A_n^{(1)} K_{2nn} + (1 - \delta_{n2} - \delta_{n3}) A_{n-2}^{(1)} K_{2(n-2)n}) P_n(\mu). \end{aligned}$$

2. Разложение для  $\sum_{k,l=2}^{\infty} A_k^{(1)} A_l^{(1)} P_k(\mu) P_l(\mu)$  получаем в результате сходных рассуждений в виде

$$\begin{aligned} \sum_{k,l=2}^{\infty} A_k^{(1)} A_l^{(1)} P_k(\mu) P_l(\mu) &= \sum_{k,l=2}^{\infty} A_k^{(1)} A_l^{(1)} \sum_{n=0}^{\infty} K_{kln} P_n(\mu) \\ &= \sum_{n=0}^{\infty} \sum_{k,l=2}^{\infty} A_k^{(1)} A_l^{(1)} K_{kln} P_n(\mu). \end{aligned}$$

3. Разложение для  $\sum_{k,l=2}^{\infty} A_k^{(1)} A_l^{(1)} \frac{\partial P_k(\mu)}{\partial \theta} \frac{\partial P_l(\mu)}{\partial \theta}$ . Согласно [25], имеем

$$\begin{aligned} \sum_{k,l=2}^{\infty} A_k^{(1)} \frac{\partial P_k(\mu)}{\partial \theta} A_l^{(1)} \frac{\partial P_l(\mu)}{\partial \theta} &= \sum_{k,l=2}^{\infty} A_k^{(1)} A_l^{(1)} \sum_{n=0}^{\infty} \alpha_{kln} P_n(\mu) \\ &= \sum_{n=0}^{\infty} \sum_{k,l=2}^{\infty} A_k^{(1)} A_l^{(1)} \alpha_{kln} P_n(\mu); \end{aligned}$$

$$\alpha_{kln} = -C_{k0l0}^{n0} C_{k(-1)l1}^{n0} \sqrt{k(k+1)l(l+1)}.$$

## Приложение В

Давление электрического поля собственного заряда на равновесную поверхность капли выражается через потенциал электрического поля  $\varphi$ :

$$p_Q = -\frac{1}{8\pi} E^2 = \frac{1}{8\pi} (\nabla\varphi)^2. \quad (\text{В.1})$$

Для нахождения явного вида  $p_Q$  необходимо решить краевую задачу для электростатического потенциала  $\varphi$ , состоящую из уравнения Лапласа

$$\Delta\varphi = 0,$$

условия убывания решения на бесконечности и условия эквипотенциальности поверхности капли

$$r \rightarrow \infty: \quad \varphi \rightarrow 0; \quad r = r(\theta): \quad \varphi = \varphi_S,$$

а также условия неизменности заряда капли

$$2\pi \int_{-1}^1 \left[ \frac{(\mathbf{n}\nabla\varphi)}{(\mathbf{e}_r \cdot \mathbf{n})} r^2 \right]_{r=r(\theta)} d\mu = -4\pi Q,$$

где  $\varphi_S$  — потенциал поверхности электропроводной капли.

Подставив в сформулированную красную задачу для нахождения потенциала  $\varphi$  асимптотическое разложение

$$\varphi = \varphi^{(0)} + \varphi^{(1)} + \varphi^{(2)} + O(\varepsilon^2),$$

получим краевые задачи для определения каждой из составляющих  $\varphi$ .

Задача нулевого порядка малости имеет вид

$$\Delta\varphi^{(0)} = 0;$$

$$r \rightarrow \infty: \quad \varphi^{(1)} \rightarrow 0; \quad r = R: \quad \varphi^{(0)} = \varphi_S^{(0)};$$

$$r = R: \quad \int_{-1}^1 \frac{d\varphi^{(0)}}{dr} R^2 d\mu = -2Q. \quad (\text{В.2})$$

Задача первого порядка малости запишется в виде

$$\Delta\varphi^{(1)}(\mathbf{r}) = 0;$$



$$\begin{aligned}
 r \rightarrow \infty: & \quad \varphi^{(1)}(\mathbf{r}) \rightarrow 0; \\
 r = R: & \quad \varphi^{(1)}(\mathbf{r}) + R \frac{\partial \varphi^{(0)}(\mathbf{r})}{\partial r} \xi^{(1)}(\theta) = \varphi_S^{(1)}; \\
 r = R: & \quad \int_{-1}^1 \left[ \frac{\partial \varphi^{(1)}}{\partial r} + \left( 2 \frac{\partial \varphi^{(0)}}{\partial r} + R \frac{\partial^2 \varphi^{(0)}}{\partial r^2} \right) \xi^{(1)}(\theta) \right] R^2 d\mu = 0.
 \end{aligned} \tag{B.3}$$

Задача второго порядка малости запишется в виде

$$\begin{aligned}
 \Delta \varphi^{(2)}(\mathbf{r}) &= 0; \\
 r \rightarrow \infty: & \quad \varphi^{(2)}(\mathbf{r}) \rightarrow 0; \\
 r = R: & \quad \varphi^{(2)} + \xi^{(1)} \frac{\partial \varphi^{(1)}}{\partial r} + \xi^{(2)} \frac{\partial \varphi^{(0)}}{\partial r} \\
 & \quad + \frac{1}{2} (\xi^{(1)})^2 R \frac{\partial^2 \varphi^{(0)}}{\partial r^2} = \varphi_S^{(2)}; \\
 \int_{-1}^1 \left\{ R^2 \left[ \frac{\partial \varphi^{(2)}}{\partial r} + \xi^{(1)} \frac{\partial^2 \varphi^{(1)}}{\partial r^2} + \xi^{(2)} \frac{\partial^2 \varphi^{(0)}}{\partial r^2} \right. \right. \\
 & \quad + \frac{1}{2} (\xi^{(1)})^2 \frac{\partial^3 \varphi^{(0)}}{\partial r^3} \left. \right] + 2R \left[ \xi^{(1)} \frac{\partial \varphi^{(1)}}{\partial r} + (\xi^{(1)})^2 \frac{\partial^2 \varphi^{(0)}}{\partial r^2} \right. \\
 & \quad \left. \left. + \xi^{(2)} \frac{\partial \varphi^{(0)}}{\partial r} \right] - \frac{\partial \varphi^{(1)}}{\partial \theta} \frac{\partial \xi^{(1)}(\theta)}{\partial \theta} + (\xi^{(1)})^2 \frac{\partial \varphi^{(0)}}{\partial r} \right\} d\mu = 0.
 \end{aligned} \tag{B.4}$$

Согласно (B.2)–(B.4), потенциалы  $\varphi^{(j)}(\mathbf{r})$  являются убывающими на бесконечности решениями уравнений Лапласа в сферических координатах и, следовательно, их следует искать в виде

$$\begin{aligned}
 \varphi^{(0)}(\mathbf{r}) &= \sum_{n=0}^{\infty} B_n r^{-(n+1)} P_n(\mu); \\
 \varphi^{(1)}(\mathbf{r}) &= \sum_{n=0}^{\infty} D_n r^{-(n+1)} P_n(\mu); \\
 \varphi^{(2)}(\mathbf{r}) &= \sum_{n=0}^{\infty} C_n r^{-(n+1)} P_n(\mu).
 \end{aligned} \tag{B.5}$$

Постоянные коэффициенты  $B_n$ ,  $D_n$  и  $C_n$  в разложениях (B.5) определяются из граничных условий краевых задач (B.2), (B.3) и (B.4). Решения задач (B.2)–(B.4) запишутся (с учетом рекуррентных соотношений, приведенных в Приложении А) в виде

$$\begin{aligned}
 \varphi^{(0)}(\mathbf{r}) &= \frac{Q}{r}; \quad \varphi^{(1)}(\mathbf{r}) = \frac{Q}{R} \sum_{n=2}^{\infty} A_n^{(1)} \left( \frac{R}{r} \right)^{(n+1)} P_n(\mu); \\
 \varphi^{(2)}(\mathbf{r}) &= \frac{Q}{R} \sum_{n=1}^{\infty} \left[ \frac{A_n^{(2)}}{R} + \sum_{k,l=2}^{\infty} l K_{kln} \frac{A_k^{(1)}}{R} \frac{A_l^{(1)}}{R} \right] \left( \frac{R}{r} \right)^{n+1} P_n(\mu).
 \end{aligned} \tag{B.6}$$

Давление электростатического поля на поверхность капли (B.1) после подстановки в него асимптотического разложения для потенциала электрического поля и выражения для формы равновесной поверхности (1) во втором порядке малости может быть представлено в виде

$$\begin{aligned}
 p_Q &\approx p_Q^{(0)} + p_Q^{(1)} + p_Q^{(2)} = \frac{1}{8\pi} \left( \frac{d\varphi^{(0)}}{dr} \right)^2 \\
 & \quad + \frac{1}{4\pi} \left[ \frac{d\varphi^{(0)}}{dr} \left( \xi^{(1)} \frac{d^2 \varphi^{(0)}}{dr^2} + \frac{\partial \varphi^{(1)}}{\partial r} \right) \right] \\
 & \quad + \frac{1}{8\pi} \left\{ 2\xi^{(2)} \frac{d\varphi^{(0)}}{dr} \frac{d^2 \varphi^{(0)}}{dr^2} \right. \\
 & \quad + (\xi^{(1)})^2 \left( \left( \frac{d^2 \varphi^{(0)}}{dr^2} \right)^2 + \frac{d^3 \varphi^{(0)}}{dr^3} \frac{d\varphi^{(0)}}{dr} \right) \\
 & \quad + \left( \frac{d\varphi^{(1)}}{d\theta} \right)^2 + \left( \frac{d\varphi^{(1)}}{dr} \right)^2 + 2 \frac{d\varphi^{(2)}}{dr} \frac{d\varphi^{(0)}}{dr} \\
 & \quad \left. + 2\xi^{(1)} \left( \frac{d^2 \varphi^{(0)}}{dr^2} \frac{d\varphi^{(1)}}{dr} + \frac{d^2 \varphi^{(1)}}{dr^2} \frac{d\varphi^{(0)}}{dr} \right) \right\}.
 \end{aligned} \tag{B.7}$$

Подставим в (B.7) выражения (B.6) для потенциалов  $\varphi^{(0)}(\mathbf{r})$ ,  $\varphi^{(1)}(\mathbf{r})$ ,  $\varphi^{(2)}(\mathbf{r})$  и для давления электрического поля окончательно получим

$$\begin{aligned}
 p_Q &= \frac{Q^2}{8\pi R^4} \left[ 1 + \frac{2}{R} \sum_{n=2}^{\infty} A_n^{(1)} (n-1) P_n(\mu) \right. \\
 & \quad \left. + \frac{2}{R} \sum_{n=2}^{\infty} A_n^{(2)} (n-1) P_n(\mu) \right] \\
 & \quad + \frac{Q^2}{8\pi R^6} \sum_{n=0}^{\infty} \sum_{k,l=2}^{\infty} A_k^{(1)} A_l^{(1)} \left[ (10 + (l+1)(k-2l-7) \right. \\
 & \quad \left. + 2l(n+1)(1-\delta_{n0})) K_{kln} + \alpha_{kln} \right] P_n(\mu).
 \end{aligned}$$

Работа выполнена при поддержке гранта РФФИ № 06-01-00066-а.

## Список литературы

- [1] *Brown R.A., Scriven L.E.* // Proc. R. Soc. London. 1980. Vol. A371. P. 331–357.
- [2] *Beard K.V., Feng J.Q., Chuang C.* // J. Atm. Sci. 1989. Vol. 46. N 15. P. 2404–2418.
- [3] *Григорьев А.И., Ширяева С.О., Белавина Е.И.* // ЖТФ. 1989. Т. 59. Вып. 6. С. 27–34.
- [4] *Basaran O.A., Scriven L.E.* // Phys. Fluids. 1989. Vol. A1. N 5. P. 799–809.
- [5] *Zholkovskij E.K., Masliyeh J.N., Czarnecki J.* // J. Fluid Mech. 2002. Vol. 472. P. 1–27.
- [6] *Sadhal S.S., Rednikov A., Ohsaka K.* // Ann. N. Y. Acad. Sci. 2004. N 1027. P. 447–463.

- [7] *Duchemin L., Lister J.R., Lange U.* // J. Fluid Mech. 2005. Vol. 533. P. 161–170.
- [8] *Ширяева С.О.* // ЖТФ. 2006. Т. 76. Вып. 10. С. 32–40.
- [9] *Ширяева С.О.* // ЖТФ. 2006. Т. 76. Вып. 11. С. 36–42.
- [10] *Ширяева С.О., Григорьев А.И., Мокшеев П.В.* // ЖТФ. 2007. Т. 77. Вып. 4. С. 32–40.
- [11] *Won-Kyu Rhim, Ishikawa T.* // Rev. Sci. Instr. 2001. Vol. 72. N 9. P. 3572–3575.
- [12] *Григорьев А.И., Синкевич О.А.* // ЖТФ. 1986. Т. 56. Вып. 10. С. 1985–1987.
- [13] *Grigor'ev A.I., Shiryayeva S.O.* // Physica Scripta. 1996. Vol. 54. P. 660–666.
- [14] *Ширяева С.О.* // ЖТФ. 2006. Т. 76. Вып. 6. С. 93–95.
- [15] *Коромыслов В.А., Григорьев А.И., Ширяева С.О.* // ЖТФ. 2006. Т. 76. Вып. 5. С. 16–24.
- [16] *Ширяева С.О.* // ЖТФ. 2006. Т. 76. Вып. 6. С. 44–54.
- [17] *Наливкин Д.В.* Ураганы, бури, смерчи. Л.: Наука, 1969. 487 с.
- [18] *Сноу Дж.* // В мире науки. 1984. № 6. С. 44–56.
- [19] *Мучник В.М.* Физика грозы. Л.: Гидрометеиздат, 1974. 350 с.
- [20] *Барри Дж.* Шаровая молния и четочная молния. М.: Мир, 1983. 286 с.
- [21] *Rouilleau M., Desbois M.* // J. Atmosph. Sci. 1972. Vol. 29. N 4. P. 565–569.
- [22] *Григорьев А.И.* // Письма в ЖТФ. 2002. Т. 28. Вып. 12. С. 91–96.
- [23] *Мазин И.П., Шметер С.М.* Облака. Строение и физика образования. Л.: Гидрометеиздат, 1983. 160 с.
- [24] *Варшалович Д.А., Москалев А.Н., Херсонский В.К.* Квантовая теория углового момента. Л.: Наука, 1975. 439 с.
- [25] *Жаров А.Н., Григорьев А.И., Ширяева С.О.* // ЖТФ. 2005. Т. 75. Вып. 9. С. 20–26.